

О МЕТОДЕ РЕШЕНИЯ ПЛОСКОЙ ЗАДАЧИ ТЕОРИИ
УПРУГОСТИ ДЛЯ ИЗОТРОПНОЙ СРЕДЫ С РЕГУЛЯРНЫМ
КОЛЬЦОМ КРУГОВЫХ ПОЛОСТЕЙ

БУРЫШКИН М. Л., ШУПТА В. П.

Плоская задача теории упругости для бесконечной изотропной среды, ослабленной регулярным кольцом круговых полостей, в связи с ее важными техническими приложениями рассматривалась в ряде публикаций [1—4]. Характерной особенностью этой задачи является то, что при большом числе близко расположенных полостей ее непосредственное решение численными методами и, в частности, методом Шермана-Космодамианского сопровождается существенными вычислительными затруднениями. В силу сказанного исследования, проведенные в работах [1, 3, 4], относятся только к относительно простому — циклическому загружению.

Некоторые нециклические виды напряженно-деформированного состояния изучались в работе [2], где был предложен метод построения приближенных аналитических решений, основанный на использовании малого параметра [5] и аппарата теории представлений групп. Это обеспечило эффективность построения решений для любого числа отверстий, достаточно далеко расположенных друг от друга.

В данной работе для исследования нециклического состояния рассматриваемой среды предлагается комбинированный метод. В нем заложены, с одной стороны, идеи метода Шермана-Космодамианского, эффективного при любом расположении отверстий, а с другой — учет симметрических свойств среды на основе теории представлений групп, что позволяет изучать воздействия нециклических нагрузок при любом числе отверстий.

1. *Обобщенные циклические задачи.* Элементами симметрии бесконечной изотропной среды, ослабленной регулярным кольцом круговых отверстий (фиг. 1) являются повороты C_r , ($r = 0, 1, \dots, n - 1$) вокруг точки О на углы α и отражения θ_r , ($r = 0, 1, \dots, n - 1$) в плоскостях Π_r . Здесь и в дальнейшем под n понимается число отверстий в кольце, $\alpha = 2\pi/n$. Элементы симметрии образуют группу C_n .

Аппарат прикладной теории представлений групп достаточно полно изложен в монографии [6]. В связи с этим ограничимся только введением некоторых характерных обозначений: g — произвольный элемент группы C_n , τ_v , ($v = 1, 2, \dots, l$) — двумерные представления этой группы, представляющие собой наборы матриц $\tau_v(g)$ вида

$$\tau_v(C_r) = \begin{vmatrix} \cos r(v-1)\alpha & \sin r(v-1)\alpha \\ -\sin r(v-1)\alpha & \cos r(v-1)\alpha \end{vmatrix} \quad (1.1)$$

$$\tau_v(\theta_r) = \begin{vmatrix} \cos r(v-1)\alpha & -\sin r(v-1)\alpha \\ -\sin r(v-1)\alpha & -\cos r(v-1)\alpha \end{vmatrix}$$

$l = n/2 + 1$ (для четного n), $l = (n+1)/2$ (для нечетного n), $\tau_{v,p}(g)$ — p -ый элемент матрицы $\tau_v(g)$, $m_v(v=1, 2, \dots, l)$ — числа, равные единице при $v=1$, а также $v=l$ (для четного n), и двум во всех остальных случаях.

Считая плоскость xOy комплексной, обозначим ее пересечение с областью, занятой средой, через Ω . Под символом z в зависимости от физического смысла используемых обозначений будем понимать некоторую точку из Ω или ее аффикс.

Область Ω разбивается плоскостями Π_r ($r = 0, 1, \dots, n-1$) на элементарные ячейки (фиг. 1). Ячейку, ограниченную плоскостями Π_0 и Π_1 , обозначим Ω^e ($e = C_0$) и назовем основной. Ячейку, полученную из основной при помощи движения $g \in G_{nv}$, будем обозначать Ω^g .

Рассмотрим набор функций Q_{vp} ($p = 1, 2$), заданных на области Ω и удовлетворяющих условиям

$$Q_{vp}(gz) = \sum_{p=1}^2 \tau_{v,p}(g) Q_{vp}(z) \quad \forall g \in G_{nv}, \forall z \in \Omega \quad (p = 1, 2) \quad (1.2)$$

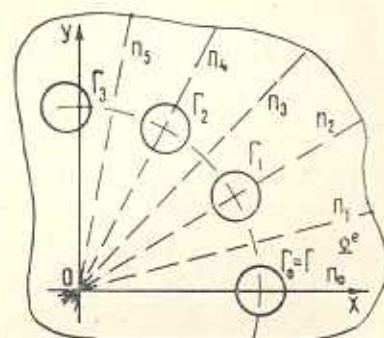
где под gz понимается образ точки z , полученный в результате движения g . Будем говорить, что этот набор преобразуется по представлению τ_v . Особо подчеркнем, что применение такой терминологии к функциям, описывающим компоненты нагрузки или напряженно-деформированного состояния среды, предполагает введение инвариантной системы отсчета. Последнее означает, что указанные компоненты для точек основной ячейки Ω^e отвечают осям x и y , а для точек ячейки Ω^g — осям gx и gy .

Остановимся на некоторых важных особенностях функций Q_{vp} ($p = 1, 2$).

Во-первых, согласно соотношению (1.2) задание этих функций на Ω^e однозначно определяет любую из них во всей области Ω . Именно свойства подобного рода обычно относят к симметрическим.

Во-вторых, циклическая и антициклическая функции, то есть функции с известными циклическими свойствами, являются соответственно функциями Q_{11} и Q_{12} из набора, преобразующегося по представлению τ_v .

Указанные особенности дают возможность расценивать выражение (1.2) как описание специфических симметрических свойств, отвечающих



Фиг. 1.

представлению τ , группы C_{np} . В дальнейшем будем говорить, что функция Q_{vp} обладает обобщенными циклическими свойствами. Линейную задачу теории упругости для циклически-симметричной среды при нагрузке Q_{vp} естественно назвать обобщенной циклической. Ее решение всегда сопровождается существенными упрощениями [7].

Выясним характер упрощений в плоской обобщенной циклической задаче для изотропной среды. Без учета свойств типа (1.2) она бы сводилась к решению системы функциональных уравнений вида [3, 4]:

$$\varphi_{vp}(t_r) + t_r \overline{\varphi_{vp}(t_r)} + \overline{\psi_{vp}(t_r)} = f_{vp}(t_r) \quad (r = 0, 1, \dots, n-1) \quad (1.3)$$

где $\varphi_{vp}(z)$ и $\psi_{vp}(z)$ — комплексные потенциалы Колосова-Мусхелишивили (функции Гурса), аналитические в области Ω и отвечающие нагрузке Q_{vp} , t_r — точка контура $\Gamma_r = C_r \Gamma$, Γ или Γ_0 — контур основного отверстия (с центром на оси x), а $f_{vp}(t_r)$ — функция, заданная на Γ_r и зависящая от нагрузки Q_{vp} . Легко видеть, что с увеличением количества отверстий растет число уравнений в системе (1.3) и усложняется структура комплексных потенциалов $\varphi_{vp}(z)$ и $\psi_{vp}(z)$.

В то же время согласно работам [2, 8] функции $\varphi_{vp}(z)$ и $\psi_{vp}(z)$, отвечающие любой нагрузке из набора $Q_{vp} (\rho = 1, 2)$, преобразующегося по представлению τ , группы C_{np} , могут быть записаны в форме

$$\frac{\varphi_{vp}(z)}{\psi_{vp}(z)} = \sum_{r=0}^{n-1} \sum_{\eta=1}^2 \tau_{vp\eta}(C_r) \frac{\exp(irz)\Phi^{(\eta)}(\exp(-irz)z)}{\exp(-irz)\Psi^{(\eta)}(\exp(-irz)z)} \quad \forall z \in \Omega \quad (1.4)$$

где $\Phi^{(\eta)}(z)$ и $\Psi^{(\eta)}(z)$ ($\eta = 1, 2$) — функции, аналитические на внешности контура Γ . Искомыми являются только голоморфные составляющие функций $\Phi^{(\eta)}(z)$ и $\Psi^{(\eta)}(z)$. Что же касается их многозначных составляющих, то они определяются по нагрузке $Q_{vp}(t)$ основного контура при помощи известных формул [3] для многозначных составляющих комплексных потенциалов $\varphi(z)$ и $\psi(z)$. Последнее замечание непосредственно вытекает из равенств (1.4), поскольку функции $\Phi^{(\eta)}(\exp(irz))$ и $\Psi^{(\eta)}(\exp(irz)z)$ при $r = 1, 2, \dots, n-1$ аналитичны внутри основного контура.

Таким образом, обобщенная циклическая задача сводится к определению только четырех функций $\Phi^{(\eta)}(z)$ и $\Psi^{(\eta)}(z)$, структура которых весьма проста. Для этого можно воспользоваться системой двух функциональных уравнений:

$$\varphi_{vp}(t) + t \overline{\varphi_{vp}(t)} + \overline{\psi_{vp}(t)} = f_{vp}(t) \quad (\rho = 1, 2) \quad (1.5)$$

где t — точка контура Γ . Поскольку уравнения (1.5) представляют собой стандартные граничные условия на основном контуре, то их правые части $f_{vp}(t)$ вычисляются по нагрузке $Q_{vp}(t)$ этого контура из обычных соотношений [3]. При этом, разумеется, предполагается,

что набор нагрузок $Q_{\nu p}$ ($\rho = 1, 2$), для которых составлены граничные условия (1.5), содержит в себе рассматриваемую нагрузку $Q_{\nu \mu}$.

Если из системы (1.5) найти функции $\Phi^{(\nu)}(z)$ и $\Psi^{(\nu)}(z)$ ($\nu = 1, 2$), то комплексные потенциалы (1.4) при $\rho = \mu$ удовлетворяют граничному условию (1.3), отвечающему значению $r = 0$. Докажем теперь, что указанные потенциалы удовлетворяют условиям (1.3) при любом r . Для этого заметим, что в координатной системе xOy

$$\begin{aligned} C_r z &= \exp(ira) z, \quad t_r = \exp(irz) t \\ f_{\nu \mu}(t_r) &= \exp(ira) \sum_{\rho=1}^2 \tau_{\nu \mu \rho}(C_r) f_{\nu \rho}(t) \end{aligned} \quad (1.6)$$

а комплексные потенциалы (1.4) обладают следующими свойствами [8]:

$$\begin{aligned} \varphi_{\nu \rho}(\exp(ira) z) &= \exp(ira) \sum_{\rho=1}^2 \tau_{\nu \mu \rho}(C_r) \frac{\varphi_{\nu \rho}(z)}{\psi_{\nu \rho}(z)} \\ \psi_{\nu \mu}(\exp(ira) z) &= \exp(-ira) \sum_{\rho=1}^2 \tau_{\nu \mu \rho}(C_r) \frac{\psi_{\nu \rho}(z)}{\varphi_{\nu \rho}(z)} \quad (r = 0, 1, \dots, n-1) \end{aligned} \quad (1.7)$$

Подставляя равенства (1.6), (1.7) в уравнение (1.3), после элементарных преобразований придем к выражению

$$\sum_{\rho=1}^2 \tau_{\nu \mu \rho}(C_r) [\varphi_{\nu \rho}(t) + t \overline{\varphi_{\nu \rho}(t)} + \overline{\psi_{\nu \mu}(t)}] = \sum_{\rho=1}^2 \tau_{\nu \mu \rho}(C_r) f_{\nu \rho}(t)$$

которое на основании (1.5) представляет собой тождество.

Итак, комплексные потенциалы (1.4), удовлетворяющие условиям (1.5), являются решением обобщенной циклической задачи (1.3).

С абстрактной точки зрения уравнения (1.5) описывают сужение оператора (1.3) на пространство комплексных потенциалов (1.4), отвечающих обобщенным циклическим задачам, то есть рассматриваемый подход является частной реализацией общей схемы учета симметрии в задачах механики деформируемого твердого тела [7]. Характер упрощений, получаемых для обобщенной циклической задачи очевиден: при любом количестве отверстий в кольце число уравнений в системе (1.5) равно лишь двум.

2. Распад плоской задачи для изотропной среды с циклической симметрией на обобщенные циклические задачи. Произвольная функция, в том числе и нагрузка Q , заданная на области Ω с группой $C_{\mu \nu}$ симметрии, может быть разложена на составляющие с обобщенными симметрическими свойствами [2, 6]. В принятой терминологии это означает, что рассматриваемая задача при любой нагрузке распадается на обобщенные циклические задачи.

Без ограничения общности далее изучается только симметричная (Q_1) или кососимметрическая (Q_2) относительно оси x контурная нагрузка. Из результатов работы [2] вытекает, что разложение нагрузки имеет весьма простой вид

$$Q_{\mu} = \sum_{\nu=1}^l Q_{\nu \mu} \quad (\mu = 1, 2) \quad (2.1)$$

причем

$$Q_{\nu\rho}(t_j) = \frac{m_\nu}{n} \sum_{r=0}^{n-1} \tau_{\nu\rho}(C_r) \exp(-ir\alpha) Q_\rho(\exp(ir\alpha) t_j) \quad (2.2)$$

$$(\nu = 1, 2, \dots, l; \rho = 1, 2; j = 0, 1, \dots, n-1)$$

В формуле (2.2) под t_j понимается аффикс точки j -го контура, а контурная нагрузка задается комплексной функцией. Этот прием был использован в [2] для получения более общих соотношений.

Заметим, что для составления уравнений (1.5) нам нужны значения нагрузок $Q_{\nu\rho}$ ($\rho = 1, 2$) только на основном контуре. Поэтому с практической точки зрения из всех выражений (2.2) следует сохранить только одно, отвечающее значению $j = 0$, то есть

$$Q_{\nu\rho}(t) = \frac{m_\nu}{n} \sum_{r=0}^{n-1} \tau_{\nu\rho}(C_r) \exp(-ir\alpha) Q_\rho(\exp(ir\alpha) t) \quad (2.3)$$

$$(\nu = 1, 2, \dots, l; \rho = 1, 2)$$

Если из всех полостей загружена только основная: $Q_\rho(\exp(ir\alpha) t) = \delta_{r0} Q_\rho(t)$ ($r = 0, 1, \dots, n-1$), то из формулы (2.3) вытекает, что

$$Q_{\nu\rho}(t) = \frac{m_\nu}{n} \delta_{\nu\rho} Q_\nu(t) \quad (\nu = 1, 2, \dots, l; \rho = 1, 2) \quad (2.4)$$

Здесь и в дальнейшем δ_{r0} и $\delta_{\nu\rho}$ — символы Кронекера.

Таким образом, исследование плоской задачи для изотропной среды с циклической симметрией может быть проведено по общей схеме учета симметрии [7]: а) разложение на обобщенные циклические задачи; б) решение последних; в) суперпозиция полученных результатов. Эффективность этой схемы связана с отмеченными ранее упрощениями, которые соответствуют этапу б).

3. Решение обобщенных циклических задач для изотропной среды с круговыми отверстиями методом Шермана-Космодамианского [3]. Все сказанное выше относилось к отверстиям достаточно общего вида. Ограничимся теперь изучением только круговых отверстий единичного радиуса. Кроме того, будем считать, что функции $\varphi_{\nu\rho}(z)$ и $\psi_{\nu\rho}(z)$ голоморфны на внешности основного контура, так как многозначные составляющие комплексных потенциалов известны заранее. Тогда искомые функции $\Phi^{(\eta)}(z)$ и $\Psi^{(\eta)}(z)$ можно искать в виде

$$\Phi^{(\eta)}(z) = \sum_{k=1}^{\infty} a_{\eta k}^*(z-R)^{-k}; \quad \Psi^{(\eta)}(z) = \sum_{k=1}^{\infty} b_{\eta k}^*(z-R)^{-k} \quad (\eta = 1, 2) \quad (3.1)$$

где $a_{\eta k}^*(z)$ и $b_{\eta k}^*$ ($\eta = 1, 2; k = 1, 2, \dots$) — неизвестные коэффициенты.

Подставим выражения (3.1) в (1.4) и разложим комплексные потенциалы $\varphi_{\nu\rho}(z)$ и $\psi_{\nu\rho}(z)$ ($\rho = 1, 2, \dots$) вблизи основного контура в ряды Лорана:

$$\begin{aligned}
\varphi_{\nu\rho}(z) &= \sum_{k=1}^{\infty} a_{\rho k}^* (z-R)^{-k} + \\
&+ \sum_{s=1}^{\infty} \sum_{\eta=1}^2 \sum_{k=1}^{\infty} a_{\eta k}^* C_{k+s-1}^s \varepsilon^{k+s} (-1)^k \lambda_{s-1, k+s}^{(\eta, \nu)} (z-R)^s \\
\varphi_{\nu\rho}(z) &= \sum_{k=1}^{\infty} b_{\rho k}^* (z-R)^{-k} + \\
&+ \sum_{s=1}^{\infty} \sum_{\eta=1}^2 \sum_{k=1}^{\infty} b_{\eta k}^* C_{k+s-1}^s \varepsilon^{k+s} (-1)^k \lambda_{s-1, k+s}^{(\eta, \nu)} (z-R)^s
\end{aligned} \tag{3.2}$$

При этом

$$\begin{aligned}
\lambda_{ks}^{(\nu)} &= \sum_{m=1}^{n-1} \cos [m(\nu-1)\alpha] \exp(ikm\alpha) (1 - \exp(im\alpha))^{-s} \\
\lambda_{ks}^{(\eta\rho)} &= (-1)^{\eta} \sum_{m=1}^{n-1} \sin [m(\nu-1)\alpha] \exp(ikm\alpha) (1 - \exp(im\alpha))^{-s} \quad (\eta \neq \rho)
\end{aligned}$$

$\varepsilon = 1/R$, C_k^* — число сочетаний из k элементов по s ; R — радиус окружности центров.

Разложим обе части граничных условий (1.5) в ряд Фурье, учитывая соотношения (3.2), и приравняем коэффициенты при одинаковых степенях $\sigma = e^{i\theta}$ (θ — полярный угол точки основного контура). В результате получим квазирегулярную бесконечную систему уравнений

$$\sum_{\eta=1}^2 \sum_{k=1}^{\infty} [A_{s\rho k\eta}^{(j)} a_{\eta k} + B_{s\rho k\eta}^{(j)} b_{\eta k}] = f_{s\rho}^{(j)} \quad (s = 1, 2, \dots; j, \rho = 1, 2) \tag{3.3}$$

Здесь $a_{1k} = a_{1k}^*$, $b_{1k} = b_{1k}^*$, $a_{2k} = -ia_{2k}^*$, $b_{2k} = -ib_{2k}^*$ — искомые действительные коэффициенты, $f_{s\rho}^{(j)}$ — коэффициенты при σ^{-s} ($j = 1$) и σ^s ($j = 2$) в разложении правой части уравнений (1.5) в ряд Фурье,

$$\begin{aligned}
A_{s\rho k\eta}^{(1)} &= \delta_{ks} \delta_{\eta\rho} + (-1)^{k+s+1} \varepsilon^{k+s+1} [R(s+1) C_{k+s}^{s+1} T_{s, k+s+1}^{(\eta\rho)} + \\
&+ (s+2) C_{k+s+2}^{s+2} \varepsilon T_{s+1, k+s+2}^{(\eta\rho)}] \\
A_{s\rho k\eta}^{(2)} &= (1 + \delta_{s1}) (-1)^k C_{k+s+1}^s \varepsilon^{k+s} T_{s-1, k+s}^{(\eta\rho)} + \\
&+ \delta_{\eta\rho} (-1)^s [R(s-1) \delta_{k, s-1} + (1 - \delta_{1s})(s-2) \delta_{k, s-2}] \\
B_{s\rho k\eta}^{(1)} &= (-1)^{k+s+1} C_{k+s+1}^s \varepsilon^{k+s} T_{s+1, k+s}^{(\eta\rho)}, \quad B_{s\rho k\eta}^{(2)} = \delta_{\eta\rho} \delta_{ks} (-1)^{s+1} \\
T_{s, k}^{(\eta\rho)} &= \lambda_{s, k}^{(\eta\rho)}, \quad T_{s, k}^{(\pm\eta)} = -i\lambda_{s, k}^{(\pm\eta)} \quad (\rho \neq \eta)
\end{aligned}$$

Система (3.3) решается методом редукции. После определения коэффициентов $a_{\rho k}$ и $b_{\rho k}$ ($\rho = 1, 2$; $k = 1, 2, \dots$) значения комплексных потенциалов $\varphi_{\nu\rho}(z)$ и $\psi_{\nu\rho}(z)$ вычисляются с помощью (3.1) и (1.4).

4. Напряженное состояние, вызванное равномерным давлением интенсивности p на основном контуре. Несмотря на частный характер, эта задача имеет большое значение для многочисленных приложений. В самом деле, из нее с помощью поворотов и суперпозиций может быть получен целый ряд практически важных задач.

Согласно (2.4) $Q_{11}(t) = p m_1(t - R)/n$, $Q_{12} \equiv 0$, то есть рассматриваемая задача распадается на l обобщенных симметрических задач, при чем $f_{ssj}^{(1)} = 0$ ($s = 1, 2, \dots$; $j = 1, 2$) за исключением $f_{11}^{(2)} = p m_1/n$.

Допустимый уровень редукции контролировался соответствием между заданным давлением p и получаемыми в результате расчета напряжениями σ_r в контурных точках. Во всех приводимых далее результатах невязка не превышала 3% от величины p . При этом в системе (3.3) удерживалось до 80 уравнений.

В ходе вычислений в широком диапазоне варьировалось количество отверстий и величина $d = 2R \sin(\alpha/2) - 2$ (расстояние между смежными контурами).

Таблица 1

n	d	$\theta=0$	$3\pi/12$	$5\pi/12$	$7\pi/12$	$9\pi/12$	π
5	0,4	-0,871	-1,04	-1,67	-3,00	-0,08	-2,63
	0,7	-0,98	-1,16	-1,56	-1,56	-0,742	-1,086
	1,0	-1,00	-1,12	-1,32	-1,19	-0,92	-1,48
10	0,4	-0,848	-1,234	-2,352	-0,88	-0,71	-2,23
	0,7	-1,01	-1,34	-1,78	-0,61	-1,28	-1,73
	1,0	-1,05	-1,23	-1,33	-0,80	-1,15	-1,42
20	0,4	-0,81	-1,36	-2,67	-0,51	-1,81	-2,07
	0,7	-1,08	-1,45	-1,51	-0,41	-1,46	-1,54
	1,0	-1,10	-1,29	-1,20	-0,77	-1,27	-1,34
∞	0,4	-1,36	-2,08	-1,23	-1,23	-2,08	-1,37
	1,0	-1,20	-1,30	-0,97	-0,97	-1,30	-1,20

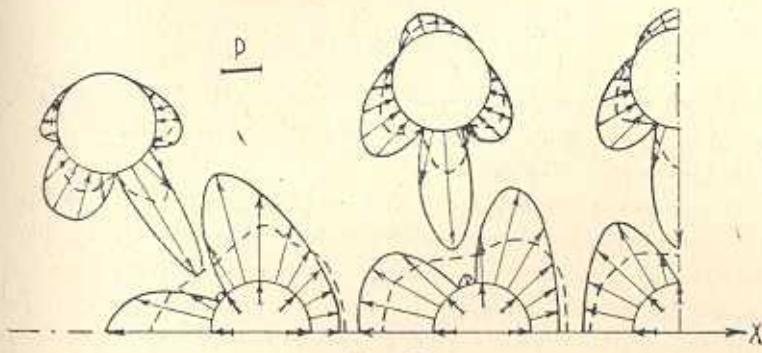
Таблица 2

n	d	$\theta=\pi$	$15\pi/12$	$17\pi/12$	$19\pi/12$	$21\pi/12$	2π
5	0,4	1,414	-3,48	0,09	0,75	0,38	0,03
	0,7	0,79	-1,68	-0,49	0,73	0,49	0,10
	1,0	0,54	-1,03	-0,49	0,50	0,42	0,11
10	0,4	0,96	-0,45	-2,11	0,76	0,71	0,27
	0,7	0,67	-0,21	-1,79	0,42	0,76	0,35
	1,0	0,49	0,20	-1,16	0,12	0,59	0,32
20	0,4	0,83	0,72	-3,11	0,67	0,82	0,38
	0,7	0,54	0,41	-1,69	-0,10	0,81	0,48
	1,0	0,43	0,18	-1,08	-0,25	0,60	0,42
∞	0,4	0,5	1,43	-1,57	-1,57	1,43	0,5
	1,0	0,33	0,48	-0,78	-0,78	0,48	0,33

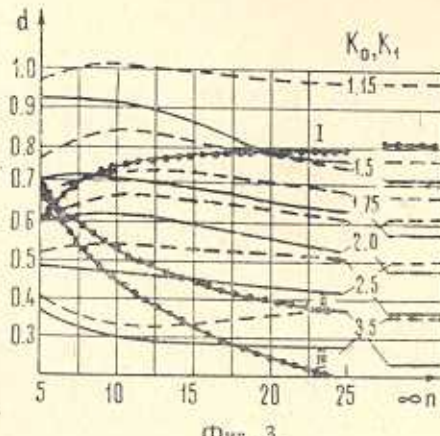
В табл. 1 и 2 приведены значения σ_r в зависимости от n , d и полярного угла θ соответственно на контурах Γ и Γ_1 . Для сравнения в строках $n = \infty$ помещены данные для среды периодической структуры, полученные по методике из работы [9]. Очевидно, что задача о напряженном со-

стоянии такой среды является предельным случаем для рассматриваемых циклических задач, так как при фиксированном параметре d и $n \rightarrow \infty$ радиус R кольца отверстий неограниченно возрастает. Анализ численных результатов показывает, что при $d \geq 1$ распределение напряжений в средах циклической и периодической структуры практически совпадают уже при $n = 30$. Для меньших значений величины d это совпадение достигается при значительно большем числе n .

Характерные эпюры σ_0 на контурах Γ и Γ' , для $n = 5$ (слева), $n = 20$ (в центре) и $n = \infty$ (справа) приведены на фиг. 2. Сплошные линии графиков отвечают значению $d = 0.4$, штриховые — $d = 1.0$. При любом числе n и $d > 0.4$ минимальные напряжения на основном контуре и максимальные на смежном достигаются вблизи прямой, проходящей через центры отверстий. При значениях $d < 0.4$ в указанной зоне основного контура, как правило, возникают зоны сжимающих напряжений σ_0 , быстро растущих с уменьшением расстояния d .



Фиг. 2.



Фиг. 3.

На фиг. 3 приведены номограммы коэффициента концентрации напряжений $k = \sigma_{0\max} / p$. Сплошные и штриховые линии являются линиями уровня коэффициента k соответственно для основного ($k = k_0$) и смежного ($k = k_1$) с ним контура. Справа от основного поля номограммы

указанны асимптоты этих линий ($n \rightarrow \infty$). Нетрудно видеть, что при малых значениях d наибольшие по величине напряжения возникают на незагруженном контуре Γ_1 .

Для удобства анализа напряженного состояния на поле номограммы нанесены три сепаратриссы. Их точки отвечают геометрическим параметрам задач, для которых: I) $k_0 = k_1$, II) $k_1 = k_u$, III) $k_0 = k_u$, где k_u — коэффициент концентрации напряжений в соответствующей циклической задаче (все контуры загружены давлением с интенсивностью p).

ՈՒԳՈՒՅԱՐ ՕՂԱԿՈՎ ՇՐՋԱՆԱՑԻՆ ԽՈՌՈՉԵՐ ՈՒԽԵՑՈՂ ԻՉՈՏՐՈՊ
ՄԻՋԱՎԱՅՐԻ ՀԱՄԱՐ ԱՌԱՋՎԱԿԱՆՈՒԹՅԱՆ ՏԵՍՈՒԹՅԱՆ ՀԱՐՔ
ԽԱՐԲԻ ԼՈՒՄՄԱՆ ՄԻԹՈՒԻ ՄԱՍԻՆ

Մ. Լ. ԲՈՒՐԻՇԿԻՆ, Վ. Պ. ՇՈՒՊՏԱ

Ա մ ֆ ո ֆ ո ւ մ

Եարադրված է ռեզուլյար օղակով շրջանալին անցքերով թուլացված խղոսուաց միջավայրի համար առաձգականության տեսության հարթ խնդրի լուծման արդյունավետ մեթոդ:

Խնդրիը բերված է ռեզուկցիայի մեթոդով լուծվող (3.1) անվերջ կվազի ռեզուլյար համակարգի: Կատարված է խոռոչներից մեկի վրա տրված ճշնաշումից առաջացած լարվածային վիճակի հետազոտություն: Ստացված են թե՛նանակորիշած և նրան հարակից խռոչների վրա σ_1 լարման բաշխման բնութագրի էպիզուրաներ: Կառուցված է նույնագրամմա, որը հնարավորություն է տալիս որոշելու σ_1 լարման մաքսիմում արժեքը, կախված խռոչների թվից և նրանց միջև եղած հեռավորությունից:

METHOD OF SOLUTION OF PLANAR PROBLEM OF THE THEORY OF ELASTICITY IN ISOTROPIC MEDIUM WITH REGULAR RING OF CIRCULAR HOLE

M. L. BURISHKIN, V. P. SHUPTA

S u m m a r y

An account of an effective method for the solution of planar problems of the theory of elasticity in an isotropic medium weakened with a regular ring of circular hole is given. Studies of stress condition aroused due to pressure was carried out in one of the cavities. A character diagram of distribution of stresses σ_1 on loaded cavity and adjacent to it has been revealed. A nomogram has been drawn out which can help to determine the maximum stress value σ_1 depending on the number of cavities and distances between them.

ЛИТЕРАТУРА

1. Буйвол В. М. Бігармонічна задача для багатозв'язних систем з ціклічною симетрією. Прикладна механіка, 1962, т. 8, № 3.
2. Бурышкин М. Л. Обобщенная циклическая задача теории упругости. Сб. «Механика деформируемых сред», вып. 6. Саратов: Изд-во Сарат. ун-та, 1979, с. 174—183.
3. Космодамианский А. С. Плоская задача теории упругости для пластин с отверстиями, вырезами и выступами. Киев: Вища школа, 1975. 228 с.
4. Космодамианский А. С. Распределение напряжений в изотропных многосвязанных средах. Донецк: Изд-во Донецкого ун-та, 1972. 266 с.
5. Ворович И. И., Космодамианский А. С. Упругое равненесие изотропной пластинки, ослабленной рядом криволинейных отверстий. — Изв. АН ССР, ОТН, Механика и машиностроение, 1959, № 3.
6. Любарский Г. Я. Теория групп и ее применение в физике. М.—Л.: Физматгиз, 1958. 354 с.
7. Бурышкин М. Л. Общая схема решения неоднородных линейных задач для симметричных механических систем. — ПММ, 1981, т. 45, вып. 5, с. 849—861.
8. Бурышкин М. Л. О функциях Колосова-Мусхелишвили в обобщенных симметричных задачах теории упругости. — Докл. АН УССР, 1979, № 5, с. 344—348.
9. Бурышкин М. Л., Романенко Ф. А. О численном исследовании концентрации напряжений в изотропной пластинке, ослабленной регулярным рядом круговых отверстий. ПМ, 1979, т. 15, № 11, с. 93—100.

Одесский инженерно-строительный
институт

Поступила в редакцию
15. III. 1982